

KAWASAKI STEEL GIHO

Vol.6 (1974) No.2

---

ASME SA533 Gr.B Cl.1



# 原子炉圧力容器用 ASME SA 533 Gr. B Cl. 1 極厚鋼板について

On Heavy Gauge ASME SA 533 Gr. B Cl. 1 Steel Plate  
for Nuclear Reactor Pressure Vessels

楠 原 祐 司\*

Yuji Kusuhara

吉 村 茂 彦\*\*

Shigehiko Yoshimura

荻 野 泰 司\*\*\*

Yasuji Ogino

榎 並 権 一\*\*\*\*

Teiichi Enami

\*\*\*\*\*

\*\*\*\*\*

Tokushi Funakoshi

Tadao Hayashi

## Synopsis:

一方、イ 化学工業、石油精製工業などの分野で、  
高温高圧で使用される圧力容器の使用が増加し、  
原子炉圧力容器をも含めて、これらの容器に使用

されている引張強さの範囲は  $56.2\sim70.3\text{ kg/mm}^2$   
と比較的広いが、安定した引張特性が要求される  
ため、 $60\sim65\text{ kg/mm}^2$  の範囲を目標にした。

とから、昭和46年4月より、当社水島製鉄所に一  
連の板厚鋼板製造設備の稼動させ、これらの中

原子炉圧力容器は高温で使用される容器である  
ため、より高い強度と耐久性を有する鋼板を供給す

**Table 1** Developing procedure of ASME SA 533 Gr. B Cl. 1 plates  
for nuclear reactor pressure vessels

Step	Kind of refining furnace	Ingot weight	Test purpose
Crucible	Mold	-	Confirmation of the effect of chemical

**Table 2** Summarization of test results

Kind of steel	Ingot weight	Chemical composition			Thickness	Tensile test			2 mm V-notch Charpy impact test			Heat treatment condition		
		C	Mn	P		Yield	Tensile	Elonga-	Temp.	Rate	Temp.	Rate	Temp.	Rate

**Table 4** Slab and plate size of G steel

ている表面研削用グラインダーで研削した後、鋼

め、内部性状試験としてサルファープリント、マクロエッチ、清浄度、均質試験および側曲げ試験を行なった。

(1) サルファープリント

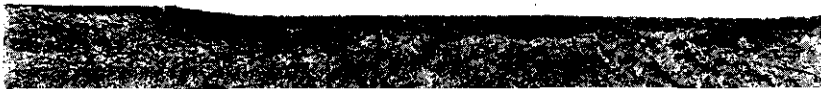
鋼板のトップおよびボトム端部の半面について

半数程度の非金属介在物量であることが確認された。

LF で精錬された他の銅種についても、同様の結果が得られており、非金属介在物量の少ない点が LF 精錬銅の大きな特色である。<sup>1)</sup>

試験を行なった。結果は Photo. 2 に示すよう

とに示す酸素分析結果と合せて考察すると、酸化







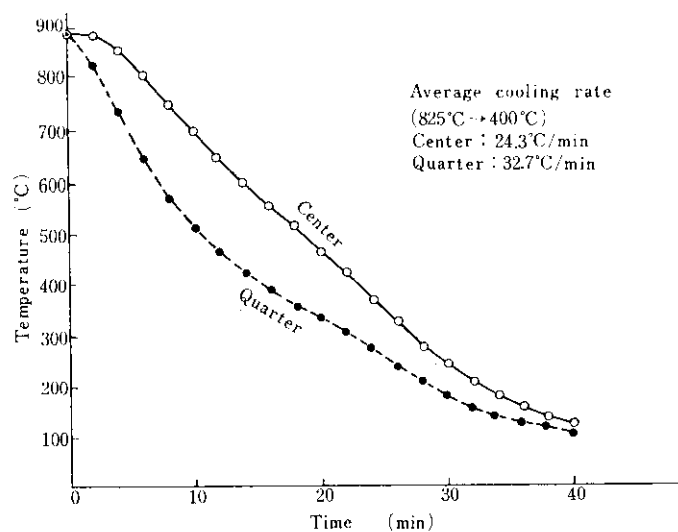
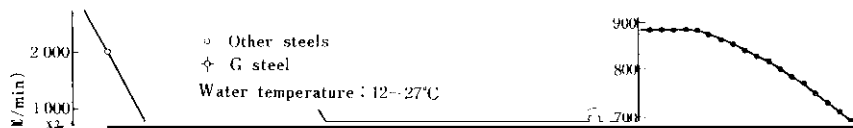


Fig. 4 An example of cooling curve during

quenching for G steel



		Heat treatment condition	
	Q. T.		Q. T.-SR

主の表面が T 法の表面のそれによく似てからこの

### 3・7 引張特性

べてはいっており、60t 鋼塊から製造された37t  
の鋼板であることを考慮すればバラツキはきわめ

simulation method (G steel)

full thickness tensile specimen (G steel)

Through-thickness location	Yield strength (kg/mm <sup>2</sup> )	Tensile strength (kg/mm <sup>2</sup> )	Elongation (GL=200mm) (%)
Surface	52.0	65.2	28
Three quarters	48.0	65.2	28

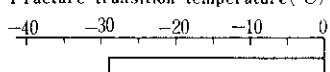
Three quarters

Back face

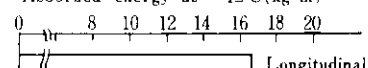
## 3.7.3 高温引張特性

## 3.7.4 低温引張特性

Fracture transition temperature(°C)



Absorbed energy at -12°C(kg·m)



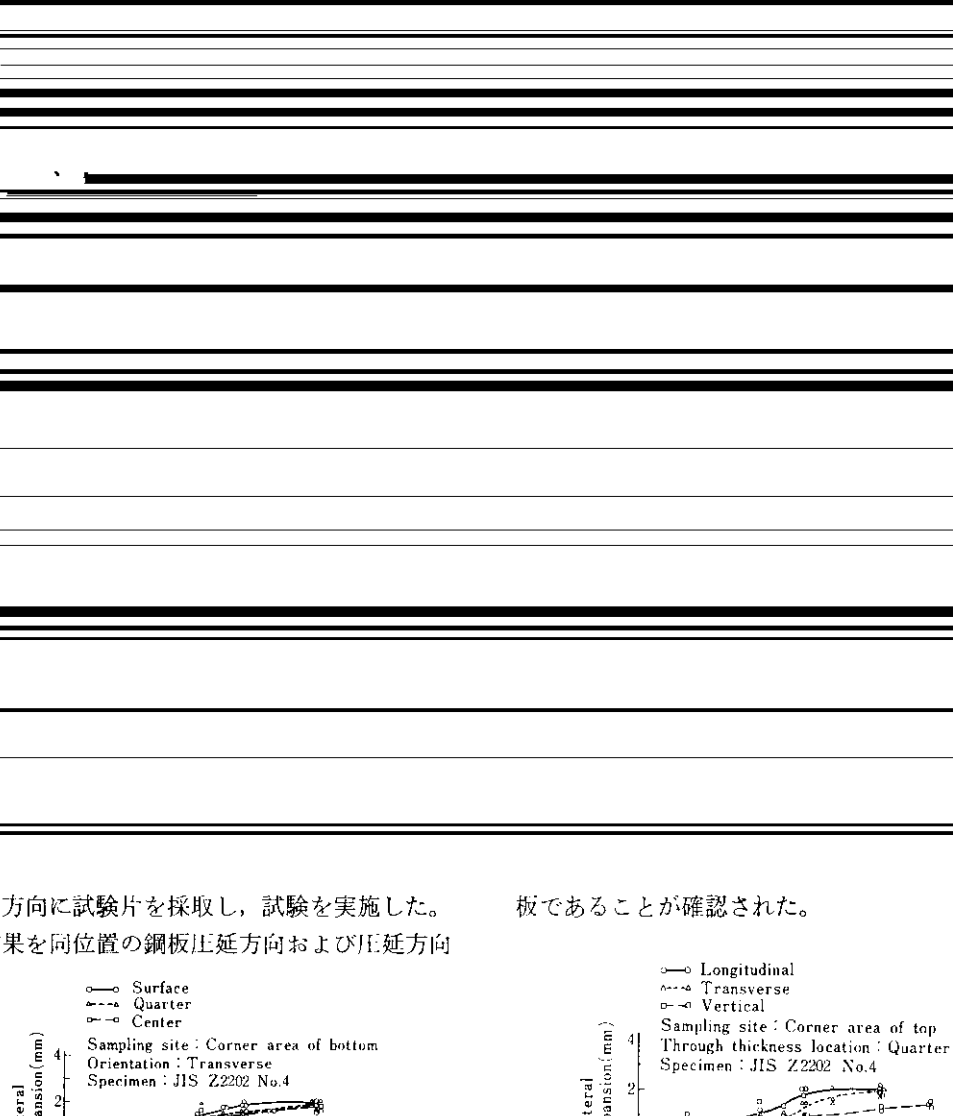
かし $\frac{1}{4}$ 部および $\frac{1}{2}$ 部での差は少なかった。シャルピー遷移曲線を Fig. 17 に示す。

### (3) 異方性

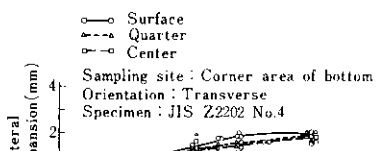
に直角の方向の結果とともに Fig. 18 および Fig. 19 に示す。

引張試験結果と同様に板厚方向でも要求値を満

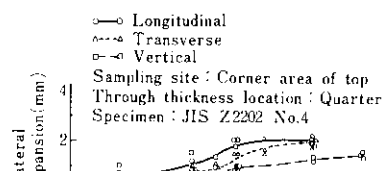
Fig. 18 Lateral expansion of longitudinal, transverse and vertical specimens taken from the corner area of the top surface of the plate.



に板厚方向に試験片を採取し、試験を実施した。  
試験結果を同位置の鋼板圧延方向および圧延方向



板であることが確認された。



(4) プログラム法の確認

Fig. 12 + Fig. 13 + Fig. 14 + Fig. 15

AMMEX プロトタイプの側面の熱処理板を用いて、アーチ形状を示す。

部からプログラム法用熱処理板を採取し、Fig. 2

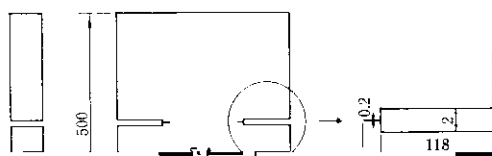
ヒート Fig. 6 にて元し、各件へ熱加熱する。

## 3・8・2 プレスノッチシャルピー衝撃試験

理板についても試験を実施した。

結果は、Table 14 に示されるように 3 T 法およびプログラム法ともに良好であった。

ASME Sec. III NB 2300 においては、脆性破壊防止の知見より、耐口試験をナーリー法田沼法によ



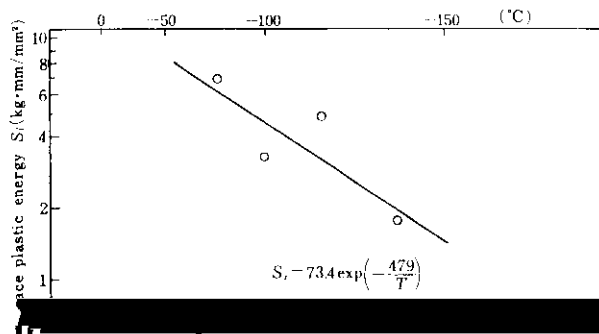
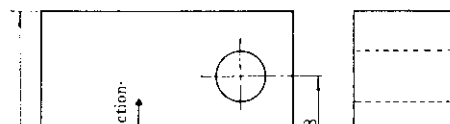
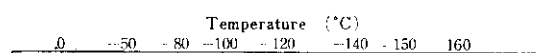
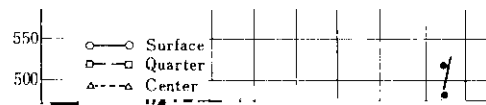


Table 15  $K$  values of G steel on deep notch test

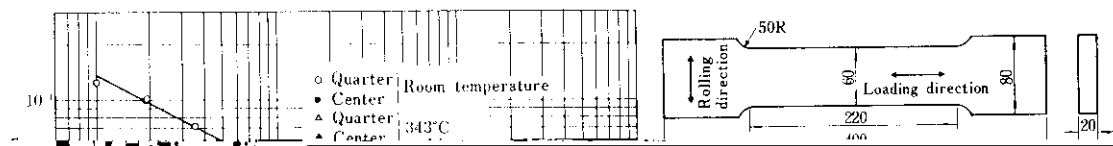
Test temperature (°C)	$K$ value (kg·mm <sup>-3/2</sup> )
-80	535
-100	367
-120	450

Fig. 24 Relation between surface plastic energy and temperatures (G steel)





G鋼の  $K_{Ic}$  の温度依存性を HSST プログラム  
(USAEC において 1967 年から推進されている  
電子伝子炉内空気の超伝導技術に関する研究会で)



め、SR条件を種々に変えて試験を行なった。

—試験結果を Fig. 36 および Fig. 37 に示す

3T法で焼入れ、焼もどしを実施した鋼板ミド

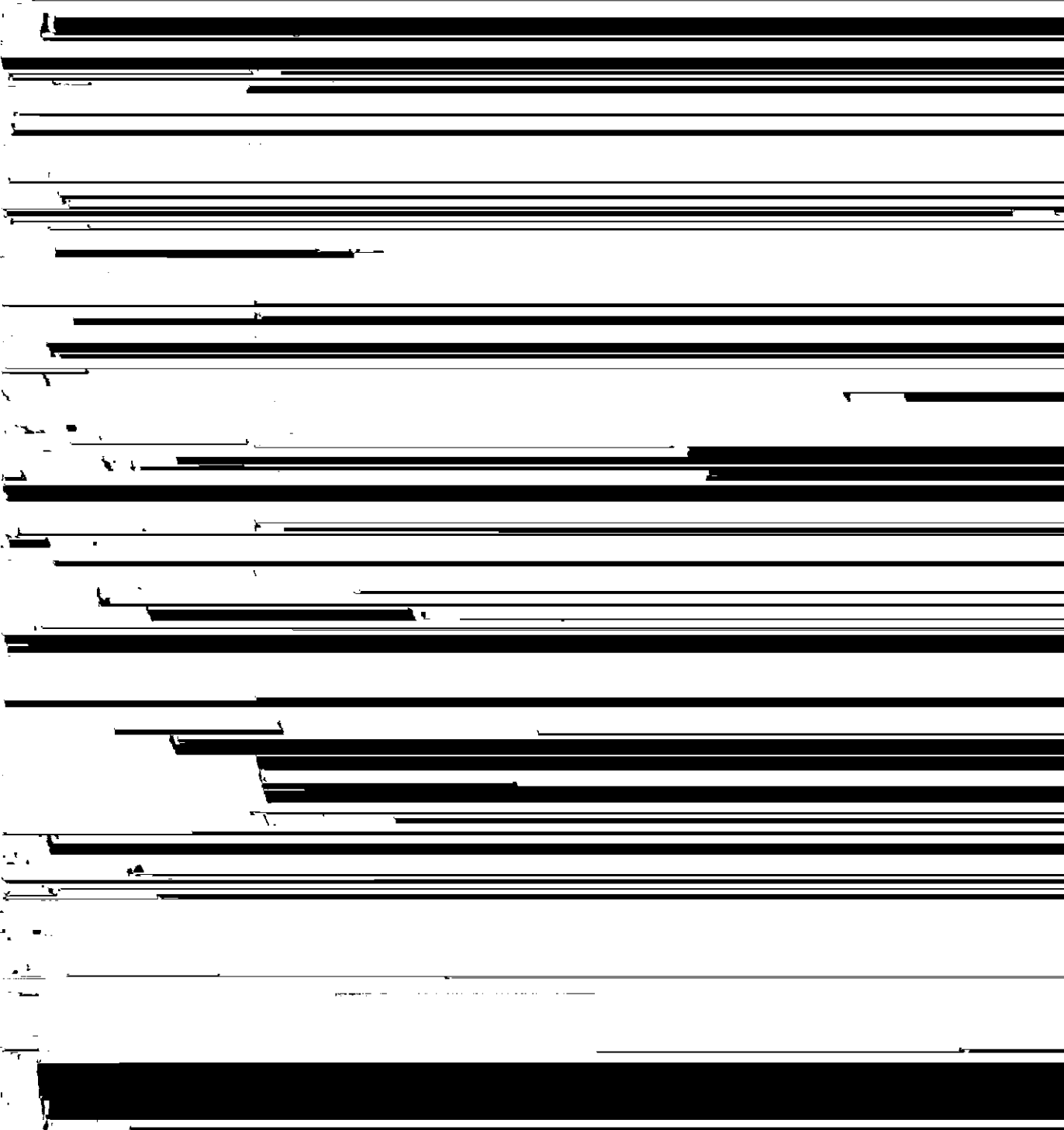
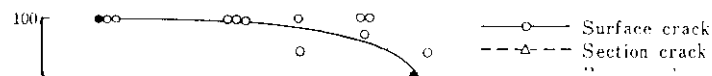
両試験結果ともSR条件の変化に対し比較的鈍感

○吸収エネルギー -12°C  
△結晶度 -12°C  
□破壊遷移温度  
×30ft-lb遷移温度  
試験片：JIS Z2202 No.4

た後、板厚の1/4部から圧延方向と直角方向に引張試験片および2mmVノッチシャルピー衝撃試験片を採取し試験を行なった。

引張試験結果はFig. 36に示す。

- Absorbed energy at -12°C
- △ Crystallinity at -12°C
- Fracture transition temperature
- × 30ft-lb transition temperature
- Specimen: JIS Z2202 No.4



Pre-heating temperature (%)

Fig. 39 Relation between percentage of cracks and pre-heating

(7) S.Rの機械的性質におよぼす影響と比較的  
われたと考えている。

化は少なかった。

る。当工程で製造される鋼板は不純物元素、特に

## (8) 低サイクル疲労試験結果も良好であった。

これらの結果と、別報に示される溶接継手性能試験結果から、溶解精錬工程に LD-LRF の組合

照射脆化に有害であるといわれている Cu の含有量が低いことから、きわめて低い照射敏感性を示すものと期待される。